

論 文

曲面에서의 마이크로스트립 어레이 안테나의 輻射 特性에 관한 研究

正會員 具 然 健* 正會員 李 正 秀* 正會員 高 光 泰*

A Study on the Radiation Characteristics of Microstrip Array Antennas on the Nonplanar Surface

Yeon Geon KOO*, Jung Soo LEE*, Kwang Tae KOH* *Regular Members*

要 約 圓筒形 物體의 오목면과 불록면의 表面에 密着하여 設置한 마이크로스트립 어레이 안테나의 輻射 特性에 관하여 理論的 解析을 試圖하였으며, 實驗을 통하여 檢證하였다.

單一素子 안테나의 解析은 傳送線路 모델法을 適用하였고, 어레이 안테나의 理論은 曲面 위에 2次元의으로 配列된 각각의 單一素子에 대하여 座標移動과 回轉을 考慮한 座標變換法으로 解析하여 遠距離에서의 合成 電界 強度를 數值計算으로 구하였다. 10 GHz에서 4素子 並列 어레이 안테나 및 마이크로스트립 給電線路를 設計 製作하여 여러가지 曲率半徑에 대하여 反射損失, 共振周波數, 輻射 패턴, 半 力電力 비임幅, 利得 등과 같은 諸 輻射特性을 測定하여 理論值와 比較 考察하였다.

理論에서豫測한 바와 같이 오목면과 불록면에서 모두 曲率半徑의 減少에 따라 輻射 패턴의 비임 폭이 더 커지는 것을 確認하였다. 曲面에서 座標變換法으로 計算한 마이크로스트립 並列 어레이 안테나의 合成 輻射電力 패턴이 測定值와 잘一致하였다. 아울러 曲率半徑의 變化에 따른 周波數의 變化, 入力 임피던스 및 利得의 變化는 無視할 수 있을 程度임을 確認하였다.

ABSTRACT In this paper, an attempt has been made to analyze the theoretically and verify experimentally the effect of curvature on the radiation characteristics of microstrip array antennas mounted conformally on the concave surface and the convex surface of the cylindrical body.

The analysis of single element microstrip antenna is made by using the analysis method of Transmission Line Model. The theory of array antennas is established by application of the method of transformed coordinates, in which the translation and the rotation about each single element arrayed two-dimensionally on the nonplanar surface are under consideration, and it is investigated by computation of the synthetic electric field strength in the far zone. In addition, various radiation characteristics, such as return loss, resonant frequency, radiation pattern, half-power beamwidth, gain, are measured

*弘益大學校 電子工學科
Dept. of Electronic Engineering
Hongik University, Seoul, 121-791, Korea.
論文番號 : 89-12 (接受 1988. 12. 29)

and compared with the theoretical values according to the variation of curvature, by designing and building 4-element array microstrip antenna operating at 10 GHz, and microstrip feed lines.

As predicted in theory, it is verified that radiation pattern of antennas mounted on the concave and the convex surfaces alike broadens as the radius of curvature decreases. And for the curved surfaces, agreement between computed values of the total synthetic radiation power pattern by the method of transformed coordinates and measured values is good. Besides, it is found that resonant frequency, input impedance and gain are hardly affected by the radius of curvature.

I. 序 論

マイクロストリップアンテナ는 1953年 Deschamps에 의하여 마이크로스트리ップ共振器가 輻射素子로 사용될 수 있음이 最初로 提案된 이후, 1970年代에 이르러 Munson과 Howell 및 Lewin 등에 의하여 마이크로스트리ップアン테나의 理論的 모델에 관한研究와 應用이 활발히 展開되었다.

지금까지 마이크로스트리ップアン테나는 주로 平面과 실린더의 볼록면에 設置한 狀態로 使用되고 있으며⁽¹⁾⁻⁽¹²⁾, 1983年 Krownе가 실린더 위의 長方形 마이크로스트리ップアン테나를 解析하였고⁽¹³⁾, Treves 등은 실린더 表面위의 안테나 解析에 表面電流 모델을 適用하였다.^{(14), (15)} 또한 最近에 Jayakumar 등은 全方向 輻射 패턴 特性을 나타내는 실린더형 마이크로스트리ップ 어레이 안테나에 대하여 發表하였고,⁽¹⁶⁾ Agrawal과 Powell은 실린더형 다이폴 어레이 안테나를 實現하였다.⁽¹⁷⁾

그러나 現在까지도 실린더形 物體의 오목면에 設置한 마이크로스트리ップアン테나의 研究와 應用이 全然 이루어지지 않고 있는 실정이므로, 오목면에 密着하여 設置한 마이크로스트리ップ 어레이 안테나의 理論的 解析과 實驗 檢證으로 活用 可能性의 追求가 必要하다고 생각된다.

本研究에서는 우선 理論的 解析과 實驗이 容易한 圓筒形 物體(cylindrical body)의 오목면(concave surface) 및 볼록면(convex surface)의 表面에 設置한 四角形 마이크로스트리ップ 竝列 어레이 안테나에 대하여, 基本 輻射素子는 傳送線路 모델(Transmission Line Model) 解析法을 根據로 設計하고^{(3), (9)} 竝列 配列 안테나의 解析에는 座標 變換法을 適用하는 解析法을 提示하였다.

移動體의 表面을 屈曲面(rough surface)으로 하여 그 오목면에 마이크로스트리ップ 어레이 안테나

를 設置하면 全方向性의 輻射패턴을 얻을 수 있고, radar cross section을 줄이는 效果를 얻게 된다.^{(18), (19)} 또한, 配列面이 圓筒形인 本研究의 結果를 適用하면 抛物形 曲面에 까지 擴大 解析할 수 있으리라고 展望되며, 屈曲面에서의 마이크로스트리ップ 어레이 안테나의 指向性 改善과 아울러 移動體 表面에 있어서 radar cross section 減少 效果에 관한 研究의 基礎를 마련하고자 한다.

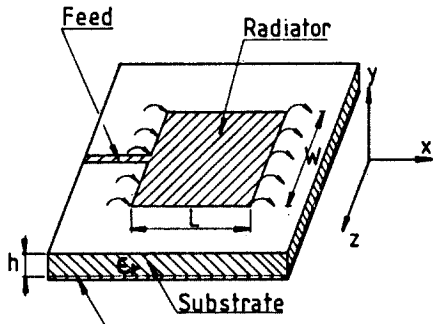
II. 長方形 마이크로스트리ップ 輻射素子의 理論

마이크로스트리ップ 輻射素子는 Munson⁽³⁾ 과 Derneryd^{(8), (9)}의 傳送線路 모델 理論에 의하여, 그림1의 (a), (b)와 같이 매우 낮은 特性 임피던스의 傳送線路로 分離되고, 給電線(feed line)에 垂直이며 誘電體의 두께와 같은 너비의 幅을 갖는 두개의 슬로트(slot)로 되어 있다고 보고 解析한다.

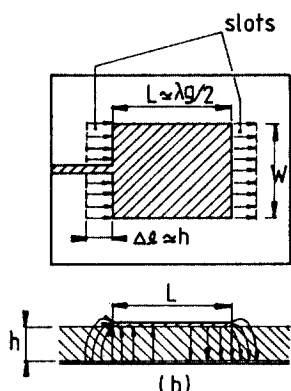
마이크로스트리ップ 안테나로부터의 電磁波의 輻射는 그림1의 (b)에서와 같이 輻射素子의 導電體 끝 부분과 接地面 사이의 fringing field에서 일어난다. 즉 輻射素子의開放端(open end)과 接地面에 의하여 形成된 開口面(aperture)에서 電磁波가 輻射된다. 또한 幅 W를 따라서 電界의 變化가 없다고 가정하면 電界는 約 半 波長의 길이 L을 따라 變化하게 된다. 따라서 輻射素子의 길이 方向의 양 쪽 가장자리에서 電界가 휘어지고, 位相이 길이 L($\approx \lambda_0/2$)에 의해 180° 變化됨을 볼 수 있으며, 두 슬로트에서의 電界는 接地面에 대하여 接線成分과 法線成分의 合으로 볼 수 있다. 아울러 두 슬로트에서의 휘어지는 電界는 먼 거리에서 보면 法線成分은 逆位相이 되어 서로 相殺되고,

接線成分은 同位相이므로 서로 더해져서 辐射素子에 垂直인 方向으로 最大 辐射를 하게 된다.

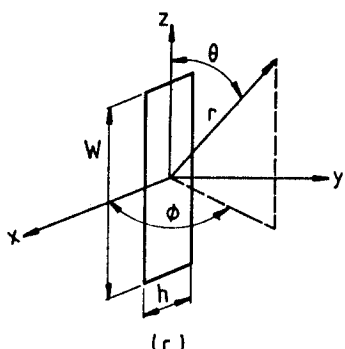
따라서 法線成分이 가장자리에서 誘電體의 두께



(a)



(b)



(c)

그림 1. 長方形 마이크로스트립 안테나
 (a) 辐射素子의 構成 (b) 平面 및 側面圖
 (c) 辐射 슬롯 座標系

Rectangular microstrip patch antenna,
 (a) Two radiating slots configuration
 (b) Top view and side view
 (c) A radiating slot with coordinate system

만큼 擴張된다고 假定하여 그림1의 直角座標系에 나타낸 바와 같이 x-z 平面 위에 슬롯트가 존재하고 平面波가 y軸 方向으로 辐射된다고 간략화 시킬수 있다.

單一輻射 슬롯트에서의 電界는

$$\vec{E} = E_x \hat{x}, \quad |x| \leq \frac{h}{2} \quad (1)$$

이므로, x 方向의 電界成分만이 존재하고 다른 方向의 成分은 0 이다. 또한, 表面 磁氣 電流密度 (magnetic surface current density)는 接地面에 의한 影像効果를 考慮하면

$$\vec{I}_m = -2 \hat{n} \times \vec{E} = 2 E_x \hat{z}$$

이므로, 슬롯트 사이의 電壓을 $V_0 = E_x \cdot h$ 로 놓으면

$$\vec{I}_m = 2 \frac{V_0}{h} \hat{z}, \quad |z| \leq \frac{W}{2} \quad (2)$$

가 된다.

原點에서 r 만큼 떨어진 거리의 點 P에서의 辐射界는 슬롯트의 開口面으로부터 구할 수 있다.⁽⁹⁾

單一輻射 슬롯트에 대하여 原點에서 r 만큼 떨어진 지점의 電界는

$$E_r = E_\theta = 0 \quad (3a)$$

$$E_\phi = -j \cdot 2 E_x h W k_0 \frac{e^{-jk_0 r}}{4\pi r} F(\theta, \phi) \\ = -j \cdot 2 V_0 W k_0 \frac{e^{-jk_0 r}}{4\pi r} F(\theta, \phi) \quad (3b)$$

가 되고, 여기서 패턴함수 $F(\theta, \phi)$ 는

$$F(\theta, \phi) = \frac{\sin(\frac{k_0 h}{2} \sin \theta \cos \phi) \sin(\frac{k_0 w}{2} \cos \theta)}{\frac{k_0 h}{2} \sin \theta \cos \phi \frac{k_0 w}{2} \cos \theta} \cdot \sin \theta \quad (4)$$

와 같다.

하나의 長方形 輻射素子에 의한 電界는, 그림 2와 같이 輻射素子가 거리 L 만큼 떨어진 두 개의 슬롯으로構成되었으며, 遠距離(far field)의 點 P 에서 보면 $L \ll r$ 이므로 각각의 슬롯로부터 field point에 대한 方向 餘弦(direction cosine)은 각 슬롯에서 같다.

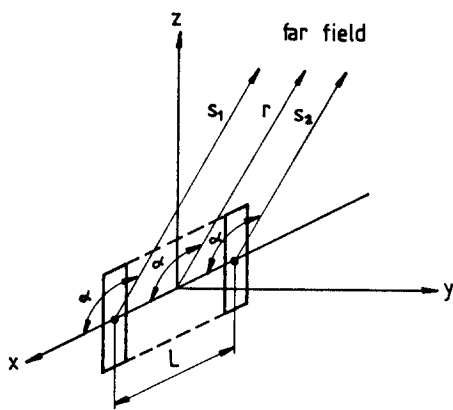


그림 2. 長方形 輻射素子의 座標系
Rectangular radiating element with coordinate system.

따라서 遠距離에서의 合成 電界 E 는

$$E_\theta = 0 \quad (5a)$$

$$\begin{aligned} E_\phi &= E_{\phi, \text{single}} \left(e^{+j\frac{k_0 L}{2} \cos \alpha} + e^{-j\frac{k_0 L}{2} \cos \alpha} \right) \\ &= -j4 V_0 W k_0 \frac{e^{-j\frac{k_0 r}{4\pi}}}{4\pi r} F(\theta, \phi) \cos\left(\frac{k_0 L}{2} \cos \alpha\right) \end{aligned} \quad (5b)$$

가 된다.

여기서

$$\cos \alpha = \frac{x}{\sqrt{x^2 + y^2 + z^2}} \quad (6)$$

이고, x, y, z 는 点 P 의 座標이다.

III. 曲面에서의 어레이 안테나의 解析

單一素子의 안테나로 얻을 수 있는 것보다 더 큰 利得과 指向性을 얻고자 할 때, 어레이 안테나(array antennas)를 利用한다. 要求되는 指向性과 輻射 패턴을 考慮하여 平面위에 直列 또는 並列로 線型配列하거나, 이들을 組合하여 2次元 配列로 할 수 있다. 또 立體의 形狀에 따라 物體의 볼록면이나 오목면에 密着시켜서 3次元 配列을 하여 氣流에 突出되지 않게 함으로서 空氣抵抗을 줄이고, 아울러 여러가지 輻射 特性의 變化를 追求할 수 있다.

本 論文에서는 오목면과 볼록면에서의 어레이 안테나의 配列理論을 座標 變化法의 適用으로 解析하는 方法을 提示하였으며, 여러가지 函數에 관한 計算을 하여 이를 分析 檢討한다.

1. 오목면 어레이

一般的으로 無指向性 안테나(isotropic antenna) 혹은同一方向을 향하여 配列된 指向性 안테나는 圓形配列(circular array) 및 球面配列(spherical array) 理論을 利用하여 輻射特性을 解析한다.

(19)

그러나 그림3과 같이 오목면 위에 設置된 마이크로스트립 어레이 안테나의 경우는 單一輻射素子의 指向性이 配列 位置에 따라, 그 指向 方向이

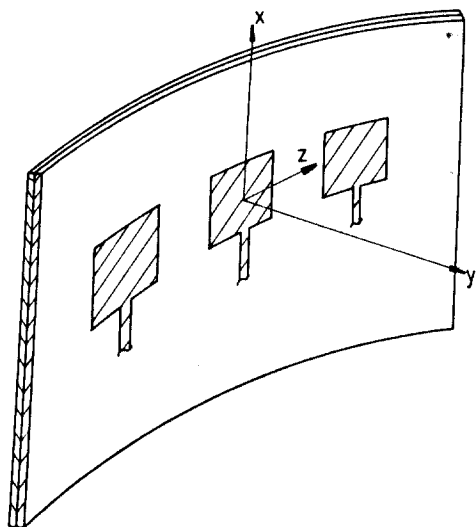


그림 3. 오목면의 마이크로스트립 어레이 안테나
Microstrip array antenna on the concave surface.

變化되고 있으므로 이 理論으로 解析하기에는 不適當하다. 따라서 單一素子의 幅이 曲面의 半徑에 비하여 매우 작아서 그 힘의 影響을 無視할 수 있을 때, 平면形 素子에 대하여 座標 變換法의 適用으로 解析하는 方法을 提示한다.

먼저 遠距離에서의 任意의 點 P에 대한 각 辐射 素子의 經路差 및 θ_i, ϕ_i 를 알아야 한다.

그림3과 같은 오목면 어레이를 解析하기 위하여 다음과 같이 가정한다.

1) 曲面은 半徑 R인 圓筒形 物體의 오목면과 一致한다.

2) $R \gg W$ 이고, 따라서 각 單一辐射素子의 힘에 의한 影響은 無視한다.

3) 임피던스 整合回路로부터의 辐射 및 辐射素子의 高次 모우드 辐射는 없다.

4) 合成 電界는 遠距離에서만 考慮하며, 따라서 電磁波의 經路差에 의한 영향은 位相差로만 나타난다.

5) 각 辐射素子의 end-fire 辐射는 無視한다.

Φ_i 만큼의 回轉을 하는 變動된 座標系를 갖게 된다. 또한 R이 충분히 클 경우 辐射素子 개개의 辐射 指向性은 힘의 영향을 받지 않으므로 平面의 경우와 같다고 볼 수 있어서 式(5)의 結果를 그대로 適用할 수 있다.

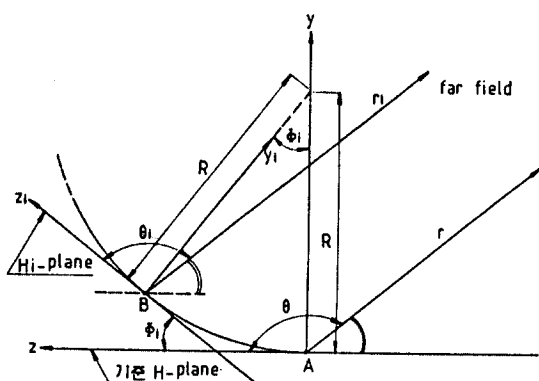
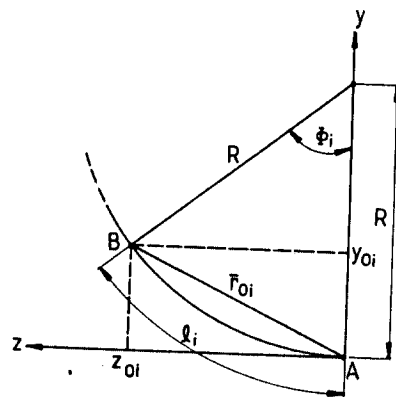


그림 4. $\phi = \pi/2$ 인 面에서의 오목면 어레이 안테나
Concave array antenna at $\phi = \pi/2$ plane.

따라서 그림3과 같이 半徑 R인 圓筒形 導體의 오목면 일부에 n개의 동일한 辐射素子가 橫斷面의 圓周를 따라 2次元의 으로 配列된 마이크로스트립 어레이 안테나의 경우 각각의 辐射素子는 基準 座標系의 原點으로부터, 그림4에서와 같이 $B(x_{0i}, y_{0i}, z_{0i})$ 인 점으로의 平行 移動과 x-軸을 중심으로

그림 5. 座標系의 平行移動
Parallel translation of coordinate system.

지금 z-軸상으로 거리 l_i 인 간격으로 均等 配列된 平面型 마이크로스트립 어레이 안테나를 半徑 R인 圓筒의 表面과 일치하도록 구부린 경우 각 辐射素子의 中央點에서의 變換된 座標系는 그림 4와 같이 나타낼 수 있다.

基準 座標系를 x, y, z 및 r, θ, ϕ 로 表示하고, 變換된 座標系를 x_i, y_i, z_i 및 r_i, θ_i, ϕ_i 와 같이 表示하면 遠距離에서의 點 P에 대한 位置 벡터 \vec{r} 및 \vec{r}_i 는

$$\vec{r} = x\hat{x} + y\hat{y} + z\hat{z} \quad (7a)$$

$$\vec{r}_i = x_i\hat{x}_i + y_i\hat{y}_i + z_i\hat{z}_i \quad (7b)$$

이고,

$$\begin{bmatrix} x_i \\ y_i \\ z_i \end{bmatrix} = \begin{bmatrix} l_{1i} & m_{1i} & n_{1i} \\ l_{2i} & m_{2i} & n_{2i} \\ l_{3i} & m_{3i} & n_{3i} \end{bmatrix} \begin{bmatrix} x - x_{0i} \\ y - y_{0i} \\ z - z_{0i} \end{bmatrix} \quad (8)$$

이다.

式(8)에서 l_i, m_i, n_i ($i=1,2,3$)는 座標回轉을 나타내는 factor로서 基準座標系의 각각의 軸과 變換된座標系의 각각의 軸과의 方向餘弦 痕으로 주어지며

$$\begin{aligned} l_{1i} &= \hat{x} \cdot \hat{x}_i = 1, \quad m_{1i} = \hat{y} \cdot \hat{y}_i = 0, \\ l_{2i} &= \hat{x} \cdot \hat{y}_i = 0, \quad m_{2i} = \hat{y} \cdot \hat{y}_i = \cos \Phi_i, \\ l_{3i} &= \hat{x} \cdot \hat{z}_i = 0, \quad m_{3i} = \hat{y} \cdot \hat{z}_i = \sin \Phi_i, \\ n_{1i} &= \hat{z} \cdot \hat{x}_i = 0 \\ n_{2i} &= \hat{z} \cdot \hat{y}_i = -\sin \Phi_i \\ n_{3i} &= \hat{z} \cdot \hat{z}_i = \cos \Phi_i \end{aligned} \quad (9)$$

가 된다.

그림 5에서 A 点이 B (x_{0i}, y_{0i}, z_{0i}) 点으로 平行移動할 때,

$$x_{0i} = 0 \quad (10a)$$

$$y_{0i} = R (1 - \cos \Phi_i) \quad (10b)$$

$$z_{0i} = -R \sin \Phi_i, (\Phi_i > 0) \quad (10c)$$

$$\Phi_i = \frac{l_i}{R} \quad (10d)$$

이므로,

$$\begin{aligned} \vec{r}_{0i} &= x_{0i} \hat{x} + y_{0i} \hat{y} + z_{0i} \hat{z} \\ &= R (1 - \cos \Phi_i) \hat{y} - R \sin \Phi_i \hat{z} \end{aligned} \quad (11)$$

가 된다.

式(5)에서와 같이 輻射素子로부터의 輻射電界를 구하기 위해서는 다음과 같이 遠距離의 點 P에 대한 r_i, θ_i, ϕ_i 및 α_i 를 알아야 한다.

$$r_i = (x_i^2 + y_i^2 + z_i^2)^{\frac{1}{2}} \quad (12a)$$

$$\begin{aligned} \theta_i &= \cos^{-1} \left(\frac{z_i}{r_i} \right) \\ &= \cos^{-1} \left\{ \frac{(y - y_{0i}) \sin \Phi_i + (z - z_{0i}) \cos \Phi_i}{r_i} \right\} \end{aligned} \quad (12b)$$

$$\begin{aligned} \phi_i &= \cos^{-1} \left(\frac{x_i}{\sqrt{x_i^2 + y_i^2}} \right) \\ &= \cos^{-1} \left[\frac{x - x_{0i}}{\left[(x - x_{0i})^2 + (y - y_{0i})^2 \cos \Phi_i \right. \right.} \right. \\ &\quad \left. \left. \left. - (z - z_{0i})^2 \sin \Phi_i \right]^{\frac{1}{2}} \right] \end{aligned} \quad (12c)$$

$$\alpha_i = \cos^{-1} \left(\frac{x_i}{r_i} \right) = \cos^{-1} \left(\frac{x - x_{0i}}{r_i} \right) \quad (12d)$$

n개의 輻射素子가 거리 l 만큼씩 등간격으로配列된 오목면 어레이 안테나의 경우 基準座標系에 대한 合成電界는

$$E_\theta = 0 \quad (13a)$$

$$\begin{aligned} E_\phi &= \sum_{i=1}^n E_{\phi i} \\ &= -j 4 V_0 W k_0 \sum_{i=1}^n \left[\frac{e^{-jk_0 r_i t}}{4 \pi r_i} F(\theta_i, \phi_i) \right. \\ &\quad \left. \cdot \cos \left(\frac{k_0 L}{2} \cos \alpha_i \right) \right] \end{aligned} \quad (13b)$$

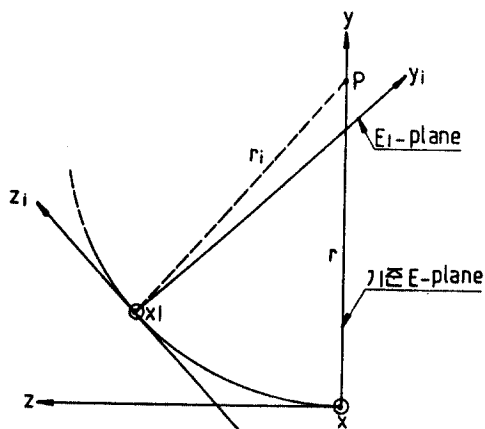
와 같다.

遠距離에서 $r_i \gg l_i$ 라고 하면, $r_i = r + \Delta r_i$ 일 때 $\Delta r_i \ll r$ 이므로 合成電界의 絶對值는

$$\begin{aligned} |E_\phi| &\approx -\frac{4 V_0 W k_0}{4 \pi r} \cdot \left| \sum_{i=1}^n \left\{ e^{-jk_0 \Delta r_i} \right. \right. \\ &\quad \left. \cdot F(\theta_i, \phi_i) \cos \left(\frac{k_0 L}{2} \cos \alpha_i \right) \right\} \left| \right| \\ &= \frac{V_0 W k_0}{\pi r} \left| \sum_{i=1}^n \left[\left\{ \cos(k_0 \Delta r_i) - j \sin(k_0 \Delta r_i) \right\} \right. \right. \\ &\quad \left. \cdot F(\theta_i, \phi_i) \cdot \cos \left(\frac{k_0 L}{2} \cos \alpha_i \right) \right] \left| \right| \end{aligned} \quad (14)$$

이 되고, 여기서 Δr_i 는 $r_i - r$ 로 주어지는 값이며 $F(\theta_i, \phi_i)$ 는 式(4)에서 주어진 패턴함수이다.

한편, 變換된 각각의 座標系는 x -軸의 變化가 없으므로 $\phi = \pi/2$ 인 모든 面은 一致하며, 따라서 H-plane에서의 合成電界 $E_{\theta, H}$ 는 式(14)에 $\phi_1 = \pi/2$ 를 대입하여 구할 수 있다.



*P : 基準 E-plane의 遠距離點(field point)

그림 6. 座標變換된 E-平面
E-plane of transformed coordinates.

그러나 E-plane에서의 合成電界 $E_{\theta, E}$ 의 경우는 變換된 座標系 각각의 E-plane 이 그림 6과 같이 서로 다르므로 모든 座標系에서의 點 P에 대한 θ_1 및 Φ_1 를 구하여 式(14)에 대입함으로써 구할 수 있다.

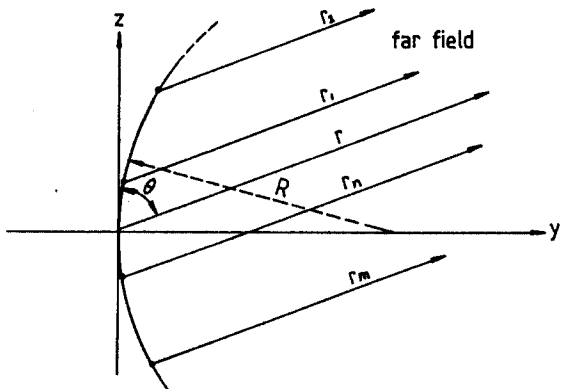


그림 7. 오목면 어레이 안테나의 基準 座標系
Reference coordinate system of concave array antenna.

實際로 오목면 어레이 안테나에서는 그림4와 같이 $\Phi_1 > 0$ 이 되도록 基準座標系를 설정할 경우 計算 및 應用이 不便하므로 그림7과 같이 基準座標系를 設定하여 輻射 패턴을 구한다.

또한 實際 計算에 있어서는 다음 事項을 考慮한다.

- 1) 曲面의 誘電體 및 輻射素子 表面으로부터의 反射에 의한 2次 輻射는 없다.
- 2) 각 輻射素子는 0° - 180° 範圍에서만 輻射하며, 導體 接地板의 끝(edge)에 의한 가로막힘이 있고, 이 끝에서의 回折은 無視할 수 있다.
- 3) 輻射 패턴은 far field에서만 考慮한다.

2. 볼록면 어레이

그림8과 같이 半徑 R의 볼록면 表面에 마이크로스트립 안테나를 設置하고, n개의 均一한 輻射素子가 配列된 경우에도 오목면에서와 마찬가지의 過程으로 座標變換을 適用하여 遠距離에서의 合成電界를 구할 수 있다.

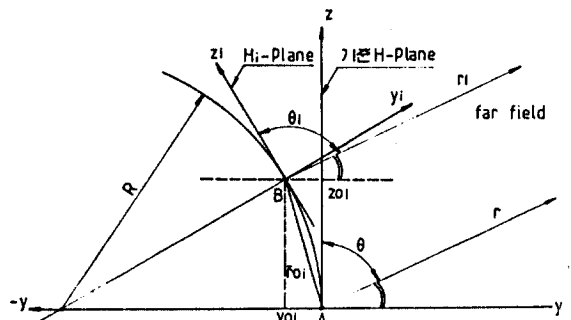


그림 8. $\phi = \pi/2$ 인 面에서의 볼록면 어레이 안테나
Convex array antenna at $\phi = \pi/2$ plane.

座標變換에서 그림 4,5와 그림8을 比較해 보면 原點에서 移動되는 길이는 같으나 方向만 -y 軸으로 달라진다. 즉 오목면 어레이에서의 式(10a)에서 式(11)까지를 다음 式으로 바꿔쓰면 된다.

$$x_{0i} = 0 \quad (15a)$$

$$y_{0i} = -R(1 - \cos \Phi_i) \quad (15b)$$

$$z_{0i} = -R \sin \Phi_i, (\Phi_i > 0) \quad (15c)$$

$$\Phi_i = \frac{l_i}{R} \quad (15d)$$

이므로,

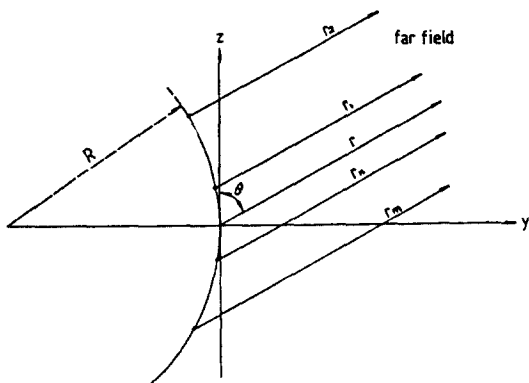


그림 9. 볼록면 어레이 안테나의 基準座標系
Reference coordinate system of convex array antenna.

$$\begin{aligned} \vec{r}_{0i} &= x_{0i}\hat{x} + y_{0i}\hat{y} + z_{0i}\hat{z} \\ &= R(\cos \Phi_i - 1)\hat{y} - R \sin \Phi_i \hat{z} \end{aligned} \quad (16)$$

이 되며, 다른 過程은 오목면 어레이와 마찬가지 方法으로 r_i , θ_i , Φ_i , α_i 를 定義하여 구할 수 있다.

오목면에서와 마찬가지로 실제의 볼록면 어레이 안테나에서도 $\Phi_i > 0$ 이 되도록 基準座標系를 設定할 경우 計算 및 應用이 不便함으로 그림9와 같은 새로운 基準座標系를 써서 輻射패턴을 구한다.

실제 計算에서는 오목면에서와 같이 각 輻射素子가 0° - 180° 에서만 輻射하며, 輻射패턴은 far field에서만 考慮하고, 오목면으로 했을 때의 2次反射 輓射 및 導體接地板에 의한 끝부분의 막힘 등의 문제는 없다.

3. 計算結果 및 分析

輻射패턴의 理論值 計算은 素子數別, 平面 및 曲面의 오목면과 볼록면의 狀態別로 電界 패턴식에 反映되는 모든 파라미터들을 考慮하고, 理論에

서 유도된 式(14)를 利用하여 電力 패턴식으로 바꾸어 計算 處理하였다.

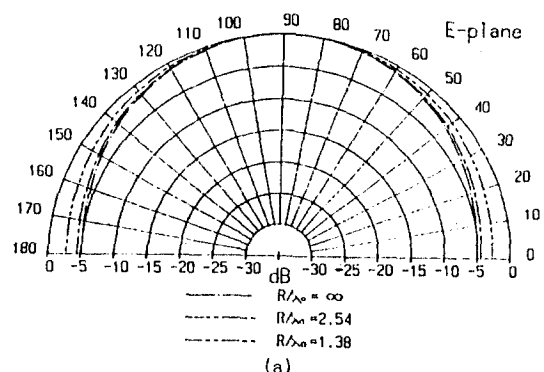
오목면에 어레이 안테나를 設置한 경우, 輻射패턴의 理論值 計算에서는 遠距離 P點에서 被測定 안테나를 바라보았을 때, 曲面의 edge에 의한 가로 막힘의 영향이 있어서 동일 角度에서 보이는 素子數가 점점 적어지므로, 보이지 않는 部分의 輻射電力を 除하고 計算하였으며, 曲率半徑 이 작아 질수록 合成 輻射패턴의 有效角度의 範圍가 작아짐을 알 수 있다. 그러나 볼록면 어레이의 경우는 이 問題를 考慮하지 않아도 된다.

曲面에서의 어레이 안테나의 遠距離에서의 輻射電力を 曲面의 曲率, 어레이 素子數와 周波數를 函數로 本 論文에서 提示한 理論에 의하여 計算하고, 그 結果로 그린 패턴도를 分析한다.

(1) 오목면 어레이 輻射패턴

4素子 竝列 어레이 오목면 안테나의 輻射패턴도를 그림10에 나타내었다. 그림10(a)의 10GHz 4素子 竝列 어레이 패턴도에서 E-plane 패턴은 半電力 비임폭이 平面일 때 110° , 曲率이 $R/\lambda_0 = 2.54$ 일 때 120° , $R/\lambda_0 = 1.38$ 일 때 180° 로 曲率半徑이 작아질수록 더 넓어졌다.

그림10(b)에 보인 H-plane 패턴은 半電力 비임폭이 曲率 $R/\lambda_0 = 2.54$ 일 때 29° , $R/\lambda_0 = 1.38$ 일 때 37° 가 되어 平面의 26.8° 에 비하여 曲率半徑이 작아질수록 점점 더 넓어졌다. 그리고 平面의 경우 副葉(side lobe)이 45° 에서 -15 dB 정도였으나, 曲率半徑이 작아질수록 副葉도 減少되었다.



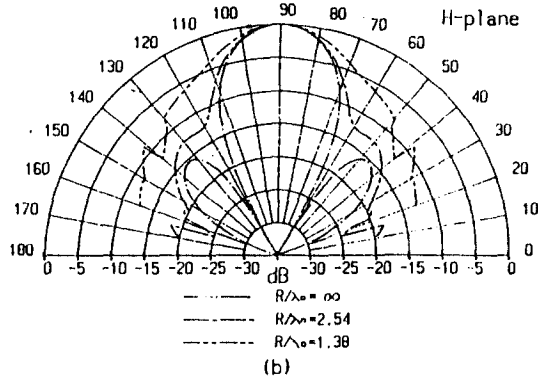


그림 10. 10GHz 4素子 오목면 안테나의 辐射 패턴(理論值)
(a) E·面 (b) H·面
Radiation pattern of 10 GHz 4-element concave antenna (Theoretical values).
(a) E-plane (b) H-plane

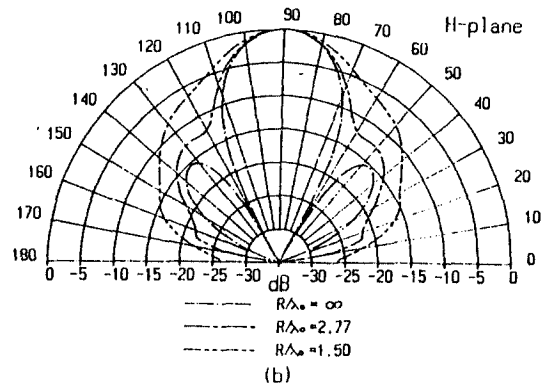


그림 11. 10GHz 4素子 볼록면 안테나의 辐射 패턴(理論值)
(a) E·面 (b) H·面
Radiation pattern of 10 GHz 4-element convex antenna (Theoretical values).
(a) E-plane (b) H-plane

(2) 볼록면 어레이 辐射 패턴

볼록면의曲面 위에 竝列 어레이 안테나를 配列한 경우曲率半徑에 따라座標變換된 位置變數들을代入하여計算한電力 패턴을 그림11에 나타내었다. 그림 11(a)의 10GHz, 4素子 竝列 어레이 볼록면 안테나의 패턴도에서 E-plane 패턴은半電力 비임폭이平面에서 110°,曲率이 $R/\lambda_0 = 2.77$ 에서 120°, $R/\lambda_0 = 1.50$ 일때 180°로曲率半徑이작아질수록 더넓어졌으며, 오목면의 경우와 같았다. 그림 11(b)에 보인 H-plane 패턴의半電力 비임폭도平面의 26.8°, $R/\lambda_0 = 2.77$ 의 29°,

$|R/\lambda_0| = 1.50$ 의 37°로 더 넓어졌으며 오목면과 비슷한 경향을 보였다.

오목면과 볼록면이 다같이曲率半徑이작아질수록 어레이 안테나의開口面積(aperture area)도 좁아지므로비임폭이점점넓어지는경향을보이며,同一한曲率半徑일때는開口面積도같아서半電力비임폭이같은것을알수있다.

오목면의 경우작은曲率일수록主葉에서먼角度 근방의 패턴이고르지못한것은導體接地板 끝에가려서보이지않는素子를除外시키고나머지素子들만計算하였기때문에발생하는현상이다.

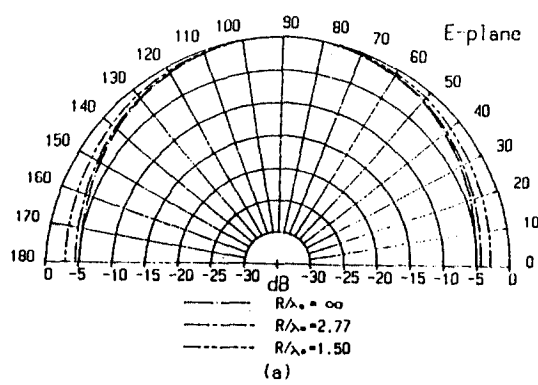
IV. 設計 및 製作

1. 안테나와 給電線路의 設計

本論文에서는中心周波數 $f=10\text{ GHz}$ 인長方形4素子 竝列 어레이 안테나를 $\epsilon_r = 2.5$, $h = 0.3$ 46 mm인誘電體基板 Teflon / Glass Cloth Laminates (3M Cu Clad 250 Type GT)를 이용하여設計製作하였다.

먼저 마이크로스트립 안테나 辐射素子의幅 W 를

$$W = \frac{c}{2f_r} \left(\frac{\epsilon_r + 1}{2} \right)^{-\frac{1}{2}} \quad (17)$$



로 정한다.⁽²⁾ 여기서 c 는 光速, ϵ_r 은 基板의 比誘電率, f_r 은 共振周波數(resonant frequency)이다. 幅을 이 式에서 구한 것 보다 작게 하면 輻射効率이 낮아지고, 더 크게 하면 輻射効率은 커지나 高次 모우드의 발생을 무시할 수 없게 된다.

輻射素子의 길이 L 은 마이크로스트립 線路의開放端에서의 end fringing capacitance에 의한線路延長成分 Δl 을考慮하여

$$L = \frac{c}{2 f_r \sqrt{\epsilon_e}} + 2 \Delta l \quad (18)$$

로 부터 구한다.^(20, 21) 마이크로스트립 안테나는 帶域幅(bandwidth)이 좁기 때문에 길이 L 이 共振周波數에 重要한 파라미터로 작용한다.

設計한 10GHz 長方形 마이크로스트립 안테나의 幅은 $W=11.339\text{mm}$, 길이는 $L=9.356\text{mm}$ 이다.

輻射素子의 輻射 콘덕턴스 G 는 Sobol⁽²²⁾이 提案한 式을 써서 구하여 $G=.002417\text{[mho]}$ 이며, 等價서셉턴스 B 는

$$B = \frac{k_0 \Delta l \sqrt{\epsilon_e}}{Z_0} \quad (19)$$

로 부터 구하면 $B=.008659\text{[mho]}$ 이므로 基本 슬롯의 等價어드미턴스는 $Y_{in}=.002417+j.008659\text{[mho]}$ 가 된다. 아울러 共振時 $Y_{in}=2G$ 이므로 入力 輻射抵抗은 $R_{in}=206.85\text{[ohm]}$ 이다. 따라서 共振時 안테나의 輻射임피던스 Z_r 은 여기서 구한 輻射抵抗 R_{in} 과 같다.

輻射素子의 並列配列 간격은 broadside로 最大輻射가 일어날 수 있도록 각 素子의 中心點 사이의 간격을 $d=\lambda_0/2$ 로 정하였으며, 設計시 素子와 素子사이의 거리는 $d-W>h$ 이므로, 相互作用이 거의 없는 것으로 간주하였다.

本論文에서 設計한 4素子 並列 어레이 마이크로스트립 안테나는 輻射素子에 同一位相의 같은 크기의 電力이 供給되도록 給電線路를構成하여야 한다. 따라서 4素子 並列 어레이 안테나는 각 素子의 輻射임피던스의 크기가 같으므로 1:2의 電力分配回路를 利用하여 2段階로 電力を 供給하도록 給電線路를構成하였으며, 給電線路의 具現은

Wheeler, Owens, Schneider 등에 의하여 報告된 實驗式을 이용하여 컴퓨터로 計算하였다.⁽²⁰⁾⁻⁽²⁷⁾

표 1과 그림12에 設計資料와 構成된 안테나를 나타내었다.

표 1 設計資料
Design data.

周波数	10 GHz		
誘電體基板	teflon, $\epsilon_r=2.50$ $h=0.346\text{[mm]}, t=0.032\text{[mm]}$		
素子 치수	$W=11.339\text{[mm]}$	$L=9.356\text{[mm]}$	$d=\lambda_0/2=15\text{[mm]}$
임피던스	$Z(\Omega)$	$W'\text{ [mm]}$	$\lambda_g/4\text{ [mm]}$
Z_1	120.000	0.13	5.43
Z_r	83.436	0.37	5.33
Z_2, Z_3	100.000	0.24	5.38
Z_0, Z_3	50.000	0.95	5.20
Z_4	70.700	0.52	5.29
Z_r	206.850		
Z_{in}	69.616		

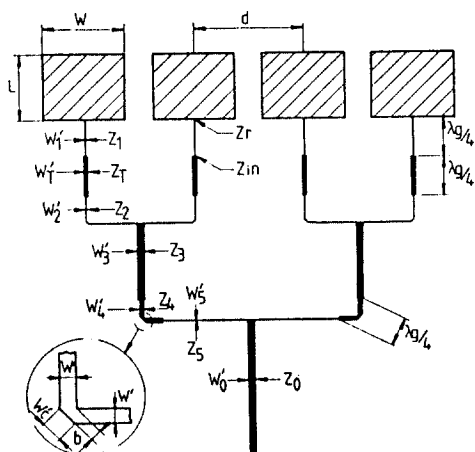


그림 12. 4素子 어레이 안테나의構成
Configuration of 4-element array antenna.

2. 製 作

設計한 마이크로스트립 안테나를 10倍로 擴大한 設計 圖面을 作成하고, rubylith film을 密着하여 오려낸 후, 사진 필름을 製作하여 photoetching 法으로 完成한다.

製作된 마이크로스트립 안테나를 測定하기 위한 안테나 設置用 曲面 밀판(base)을 曲面 狀態와 曲率半徑에 따라 표2와 같이 製作하였으며, 실제 設計 製作하여 實驗한 曲面 안테나의 寫眞을 그림 13에 나타내었다.

표 2. 안테나 設置用 曲面 밀판
Base of curved surface for mounting of antennas.

周波数:f	10GHz	
曲率半徑	R [mm]	R / λ_0
左. 복면	76.2	2.54
	41.3	1.38
右. 복면	83.1	2.77
	44.9	1.50

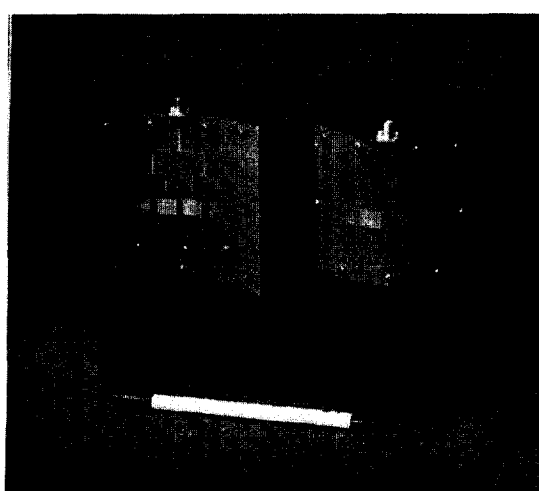


그림 13. 曲面 위의 마이크로스트립 어레이 안테나
Photograph of microstrip array antennas on the nonplanar surface.

V. 實驗 및 檢討

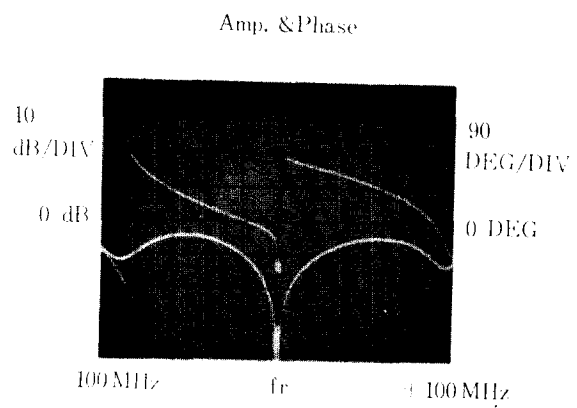
1. 特性 實驗

其現한 마이크로스트립 안테나를 HP社의 Network analyzer test set 및 S parameter test set을 이용하여 曲率半徑을 變化시키면서 反射損失, 辐射패턴, 利得 등을 測定하였다.

平面 및 오복면과 불복면에서의 曲率半徑에 따른 反射損失의 變化 狀態를 그림14에 보였으며, 入力암파터스의 變化를 그림15에 보였다. 辐射패턴과 利得은 표2와 같은 안테나 설치용 曲面 밀판에 固定한 狀態로 送受信 사이의 거리를 far field의 條件이 만족되도록 충분히 띄어 놓고 測定하였다.

오복면 辐射패턴을 測定할 때는 辐射素子를 除外한 周邊의 誘電體 表面에 減衰率 10dB 程度의 電波 吸收材를 附着하여 表面에서 反射되어 辐射되는 反射波와 각 素子 간의 相互結合에 의해서 發生하는 影響⁽²⁸⁾을 가능 한限 줄이도록 講究하였다.

測定된 아래가지 特性을 표3에 나타내었고, 그림 16,17에 辐射패턴의 計算值와 測定值를 보였으며 符號로 表示된 測定值는 E-와 H-plane의 90°範圍을 測定하여 對稱되게 그린 것이다.



(a)

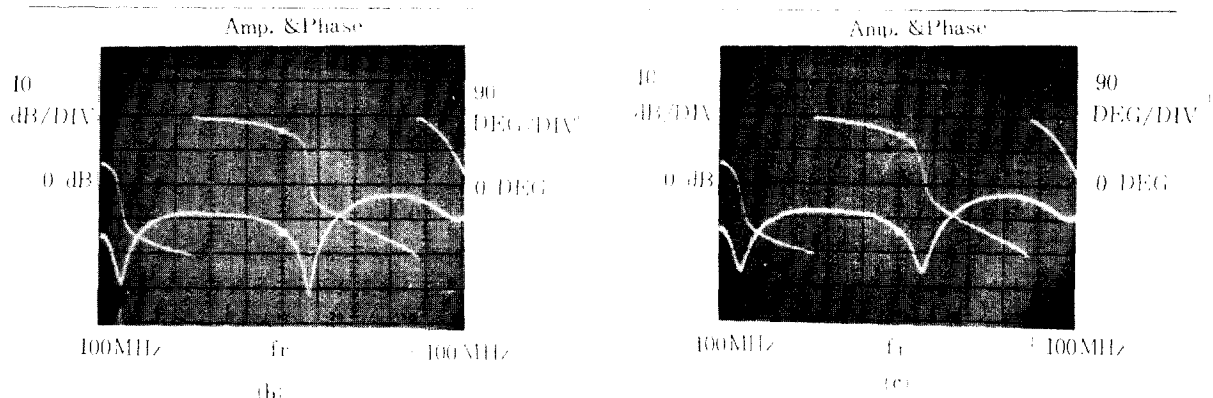


그림 14. 10GHz 1要素 단일면 반송損失(점:共振周波数)

(b) 平面 (c) 凸型面($R/\lambda_0 = 2.77$)

Return loss of 10GHz 1 element (unit: dB(dB/DIV))

(a) Flat surface (b) Concave surface($R/\lambda_0 = 2.34$) (c) Convex surface($R/\lambda_0 = 2.77$)

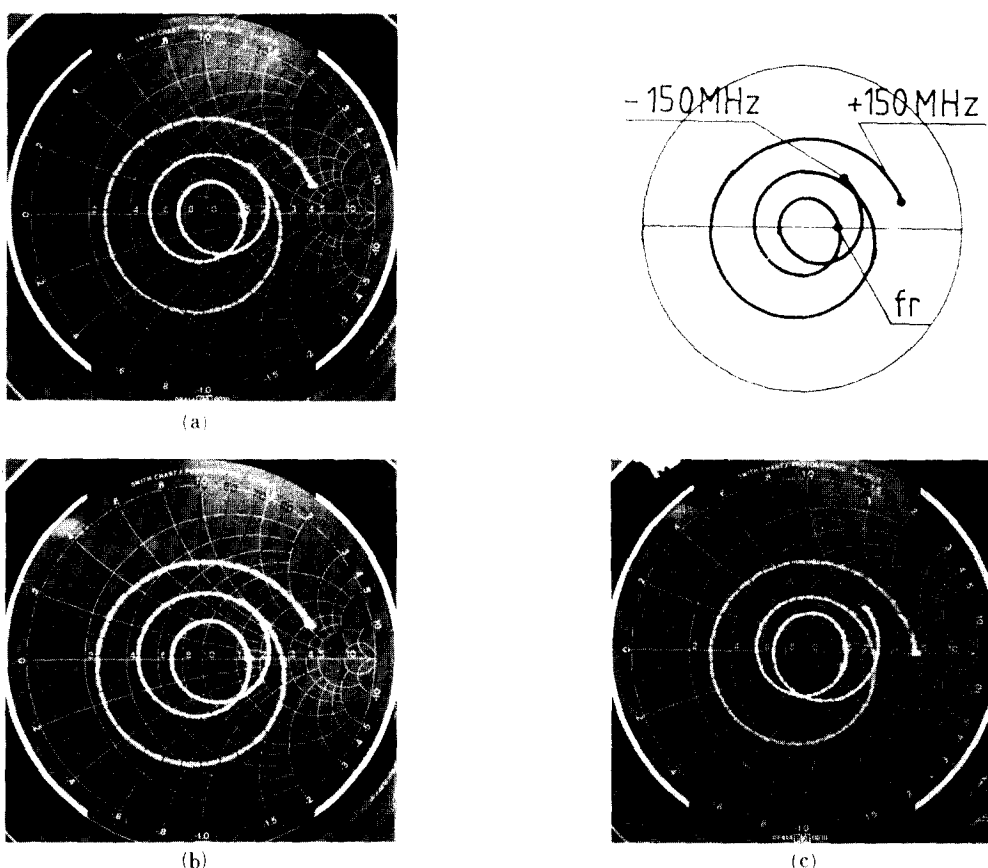


그림 15. 10GHz 4要素 멀티면 입력항법률(점:共振周波数)

(a) 平面 (b) 凹型面($R/\lambda_0 = 2.34$) (c) 凸型面($R/\lambda_0 = 2.77$)

Input impedance of 10 GHz 4 element antenna(dot - fr)

(a) Flat surface (b) Concave surface($R/\lambda_0 = 2.34$)

(c) Convex surface($R/\lambda_0 = 2.77$)

표 3 10GHz 4 素子 안테나의 特性
The characteristics of 10 GHz 4-element antenna.

設計 周波数		10GHz					
表面 狀態		平面	오목면	볼록면			
曲率半径(R/λ_0)		∞	2.54	1.38	2.77	1.50	
共振周波数[GHz]		9.95	9.969	9.969	9.968	9.968	
反射損失[dB]		<-35	-13	-13	-13	-13	
HP 면	E	計算値	110	120	180	120	180
HP 면	測定値	92	100	108	104	110	
임폭 [DEG]	H	計算値	26.8	29	37	29	37
임폭 [DEG]	測定値	23	30	53.8	31.6	39	
正規化利得[dB]		0	-0.5	-2.7	-0.7	-2.7	

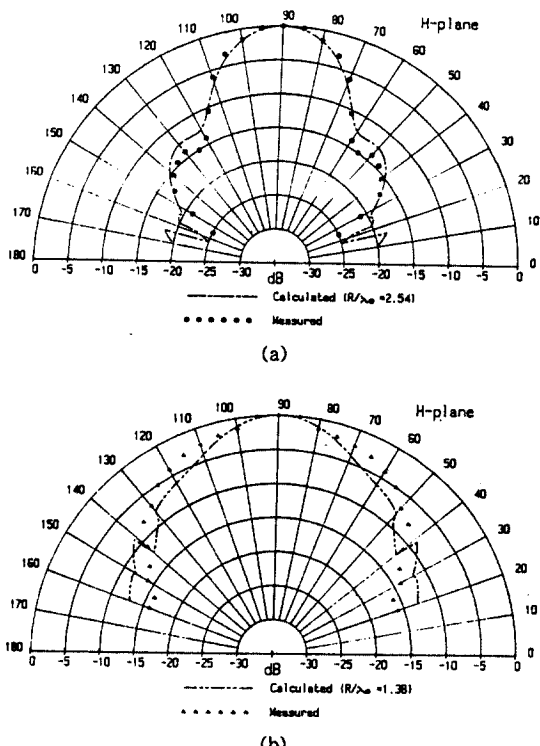
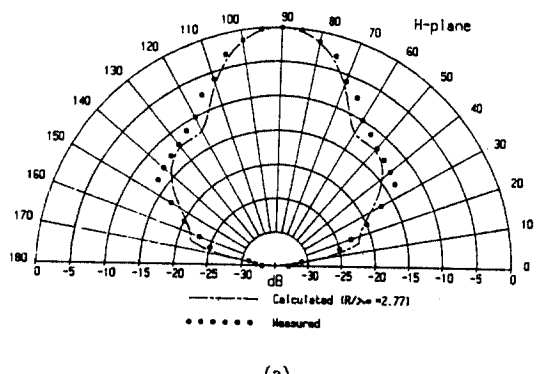
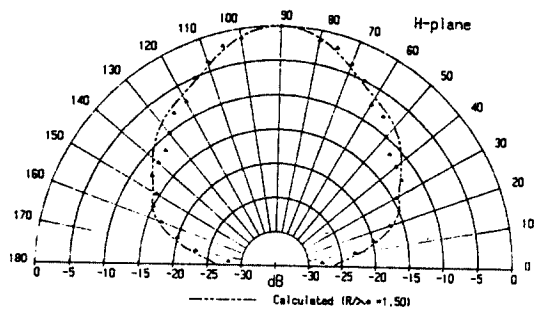


그림 16. 10GHz 4 素子 오목면 안테나의 辐射 패턴(線: 計算值, 符號: 測定值)
(a) H-面($R/\lambda_0=2.54$) (b) H-面($R/\lambda_0=1.38$)

(a) H-plane($R/\lambda_0=2.54$) (b) H-plane($R/\lambda_0=1.38$)
Radiation pattern of 10 GHz 4-element concave antenna (line: Calculated values, mark: Measured values),
(a) H-plane($R/\lambda_0=2.54$) (b) H-plane($R/\lambda_0=1.38$)



(a)



(b)

그림 17. 10GHz 4 素子 볼록면 안테나의 辐射 패턴

(線: 計算值, 符號: 測定值)

(a) H-面($R/\lambda_0=2.77$) (b) H-面($R/\lambda_0=1.50$)
Radiation pattern of 10GHz 4-element convex antenna,

(line: Calculated values, mark: Measured values)

(a) H-plane($R/\lambda_0=2.77$) (b) H-plane($R/\lambda_0=1.50$)

2. 檢討

共振周波數가 平面의 경우에 비하여 오목면의 경우 +19MHz, 볼록면의 경우 +18 MHz의 增加를 보였으며, 反射損失은 그림14에 보인 바와 같이 오목면이나 볼록면이 모두 曲率半徑의 變化에 關係 없이 -13dB(VSWR=1.56)로 增加되었으며, 그림15에 보인 바와 같이 人力임피던스도 약간 變化되었다. 利得은 오목면과 볼록면에서 曲率에 따라 조금씩 減少되었다. 辐射 패턴은 그림 16,

17에 보인 바와 같이 H-면이 平面의 경우, 主葉 (main lobe)의 半電力 비임폭이 26.8° 이고, 副葉 (side lobe)이 45° 에서 -15dB 정도로 나타났다. 오목면에서는 曲率半徑이 $R/\lambda_0 = 2.54$ 와 $R/\lambda_0 = 1.38$ 에서 각각 $29^\circ, 37^\circ$ 로 넓어졌으며, 副葉은 낮아지는 경향이었고, 볼록면의 경우도 비슷한 結果를 보였다. 測定值는 각각 $23^\circ, 30^\circ, 53.8^\circ$ 로 理論值와 類似한 傾向을 보였다.

여러 素子를 並列 어레이하여 曲面으로 하였을 때, 反射損失의 變化는 平面일 때 보다 整合特性이 조금 나빠지는 것을 알 수 있으며, 入力임피던스와 共振周波數는 극히 작은 變化만을 나타내어 無視할 수 있을 정도였다. H-면 輻射패턴의 비임폭은 曲率半徑의 減少에 따라 더 넓어졌으며 副葉이 減少되었고, 曲率半徑이 작아질수록 안테나의 開口面積이 점점 좁아지므로 이에 따라서 輻射패턴의 半電力 비임폭은 점점 더 넓어지는 것을 確認할 수 있었으며, 볼록면의 경우 Jayakumar가 實現한 것과 같은 傾向을 보였고,⁽¹⁶⁾ 오목면에서도 볼록면과 같은 結果를 나타내었다.

그리고 中心周波數 4GHz 에서 動作하는 4素子 並列 어레이 안테나를 設計製作하여 實驗하였을 경우에도 같은 결과를 보이는 것을 確認하였다.⁽²⁹⁾

VII. 結論

本論文에서는 오목면 및 볼록면에 設置한 長方形 마이크로스트립 並列 어레이 안테나에 대하여, 傳送線路 모델 解析法을 根據로 曲面의 半徑이 單一輻射素子의 幅보다 크므로 개개의 單一素子는 휘지 않은 것으로 看做하고, 座標 變換法을 適用하여 數值計算하였다. 그리고 10GHz 에서 4素子 並列 어레이 안테나를 設計製作하여, 平面과 오목면 및 볼록면의 曲率半徑 變化에 따라 안테나 設置用 밀판에 안테나를 바꿔가면서 反射損失, 共振周波數, 入力임피던스, 利得 등의 特性을 測定하여 그 變化 狀態를 考慮하였다. 또한, 遠距離에서의 輻射패턴을 測定하여 컴퓨터로 計算한 理論值와 比較하였다.

오목면이나 볼록면 안테나의 경우 모두 曲面의 半徑에 따라 指向性이 變하는 것을 알 수 있으며 曲率 半徑이 작아질수록 안테나의 開口面積이 좁아지므로 開口面積에 反比例하여 비임폭이 넓어지는 것을 確認할 수 있었다. 그리고 座標 變換法으로 解析한 理論에 따라 計算한 理論值와 測定值가 半電力 비임폭의 領域에서 잘一致하였다. 共振周波數는 오목면과 볼록면의 경우 曲率 變化에 따라 아주 작은 變化를 보여 거의 無視할 수 있을 정도였으며, 入力임피던스도 작은 變化만 보였고, 正規化 利得도 平面에 비하여 점점 작은 量의 減少를 나타내었다.

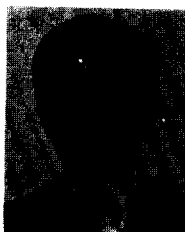
飛行體의 表面을 屈曲되게 하고, 그 오목면에 마이크로스트립 안테나를 設置하면 全方向性的 輻射패턴을 얻을 수 있을 뿐 아니라 radar cross section을 줄이는 目的에의 活用도 企待할 수 있겠다.

曲率半徑의 變化에 따라 單一素子의 輻射特性이 變化되는 것을 理論的으로 解析하고 이를反映하여 曲面에 設置된 어레이 안테나의 輻射特性을 考察하는 問題와 오목면과 볼록면에 設置한 마이크로스트립 어레이 안테나의 각 素子간의 相互結合作用을 仔細히 밝혀내고, 나아가서 屈曲面에 오목면 어레이 안테나가 여러개 配列되어 있을 때의 綜合的인 輻射特性을 探究하는 問題가 앞으로 더 研究되어야 할 課題이다.

参考文獻

- IEEE Tans. on Antennas and Propagation, "Special Issue on Conformal Arrays", Jan. 1974.
- I.J. Bahl, P. Bhartia, "Microstrip Antennas", Artech House, Inc., 1980.
- R.E. Munson, "Conformal Microstrip Antennas and Microstrip Phased Arrays", IEEE Trans. on Antennas and Propagation, vol. AP-22, pp. 74-78, Jan. 1974.
- J.Q. Howell, "Microstrip Antennas", IEEE Trans. on Antennas and Propagation, vol. AP-23, pp. 90-93, Jan. 1975.
- L.Lewin, "Radiation from Discontinuities in Stripline", Proc. IEE, vol. 107c, pp. 163-170, 1960.
- G.Sanford and L. Klein, "Development and Test of

- a Conformal Microstrip Airbone Phased Array for Use with the ATS-6 Satellite", IEE Int. Conf. on Antennas for Aircraft and Spacecraft, pp. 115-122, 1975.
7. C.W.Garvin, et al., "Missile Base Mounted Microstrip Antennas", IEEE Trans. on Antennas and Propagation, vol. AP-25, pp. 604-610, Sept. 1977.
8. A.G.Derneryd, "A Network Model of the Rectangular Microstrip Antenna", IEEE AP-S Int. Symp. Digest, pp. 93-95. June 1977.
9. A.G.Derneryd, "A Theoretical Investigation of the Rectangular Microstrip Antenna Element", IEEE Trans. on Antennas and Propagation, vol. AP-26, pp. 532-535, July 1978.
10. A.D.Krall, "The Omni Microstrip Antenna: A New Small Antenna", IEEE Trans. on Antennas and Propagation, vol. AP-27, pp. 850-853, Nov. 1979.
11. R.E.Post and D.T. Stephenson, "The Design of a Microstrip Antenna Array for a UHF Space Telemetry Link", IEEE Trans. on Antennas and Propagation, vol. AP-29, pp. 129-134, Jan. 1981.
12. R.J.Mailloux, J.McIlvenna and N.Kernweis, "Microstrip Array Technology", IEEE Trans. on Antennas and Propagation, vol. AP-29, pp. 25-38, Jan. 1981.
13. C.M.Krown, "Cylindrical Rectangular Microstrip Antennas", IEEE Trans. on Antennas and Propagation, vol. AP-31, pp. 194-199, Jan. 1983.
14. J.Ashkenazy, S.Shtrikman and D.Treves, "Electric Surface Current Model for the Analysis of Microstrip Antennas on Cylindrical Bodies", IEEE Trans. on Antennas and Propagation, vol. AP-33, pp. 295-300, Mar. 1985.
15. P.Perlmutter, S.Shtrikman and D.Treves, "Electric Surface Current Model for Analysis of Microstrip Antennas with Application to Rectangular Elements", IEEE Trans. on Antennas and Propagation, vol. AP-33, pp. 301-311, Mar. 1985.
16. I. Jayakumar, et al., "A Conformal Cylindrical Microstrip Array for Producing Omnidirectional Radiation Pattern", IEEE Trans. on Antennas and Propagation, vol. AP-34, pp. 1258-1261, Oct. 1986.
17. A.K.Agrawal and W.E.Powell, "A Printed Circuit Cylindrical Array Antenna", IEEE Trans. on Antennas and Propagation, vol. AP-34, pp. 1288-1293, Nov. 1986.
18. Warren L.Stutzman and Gray A.Thiele, "Antenna Theory and Design", John Wiley & Sons, Inc., 1981
19. E.A.Wolff, "Antenna Analysis", John Wiley & Sons, Inc., 1967.
20. E.O. Hammerstad, "Equation for Microstrip Circuit Design", 5th European Microwave Conf., pp. 268-272, Sept. 1975.
21. I.J.Bahl and D.K.Trivedi, "A Designer's Guide to Microstrip Line", Microwaves, vol. 16, no.12, pp. 174-182, May 1977.
22. H.Sobel, "Radiation Conductance of Open Circuit Microstrip", IEEE Trans. on Microwave Theory and Techniques, vol. MTT-19, pp. 885-886. Nov. 1971.
23. P.Silvester and P.Benedek, "Equivalent Capacitances of Microstrip Open Circuits", IEEE Trans. on Microwave Theory and Techniques, vol. MTT-20, pp. 511-516, Aug. 1972.
24. H.A.Wheeler, "Transmission Line Properties of a Strip on a Dielectric Sheet on a Plane", IEEE Trans. on Microwave Theory and Techniques, vol. MTT-25, pp. 631-647, Aug. 1977.
25. L.Lewin, "Spurious Radiation from Microstrip", Proc. IEE, vol. 125, pp. 633-642, July 1978.
26. K.C.Gupta, R.Garg and I.J.Bahl, "Microstrip Line and Slotlines", Artech House, Inc., 1979.
27. T.C.Edwards, "Foundation for Microstrip Circuit Design", John Wiley & Sons, 1981.
28. Bernard D.Steinberg, "Principles of Aperture and Array System Design", John Wiley & Sons, 1976.
29. 見然健, 李正秀, 高光泰, "내곡면에서의 마이크로스트립 어레이 안테나의 복사패턴에 관한 연구", 弘益大學校 論叢, 第 20 輯, 1988.



具 然 健(Yeon Geon KOO) 正會員
1939年 3月29日生
1965年 2月：서울大學校電氣工學科卒業
1967年 2月：서울大學校電子工學科卒業
1976年 2月：建國大學校大學院 卒業
1967年 6月～1973年 8月：電波管理局，
韓國電氣通信
研究所勤務

1974年 9月～1979年 2月：檀國大學校電子工學科 教授
1979年 3月～現在：弘益大學校電子工學科 教授



李 正 秀(Jung Soo LEE) 正會員
1944年11月 1日生
1968年 2月：漢陽大學校電氣工學科卒業
1981年 2月：檀國大學校大學院電子工學
科 卒業(工學碩士)
1989年 2月：弘益大學校大學院電子工學
科 卒業(工學博士)
1987年 3月～現在：弘益大學校電子工學
科 講師



高 光 泰(Kwang Tae KOH) 正會員
1955年 2月 9日生
1983年 2月：弘益大學校電子工學科卒業
1985年 8月：弘益大學校大學院電子工學
科 卒業(工學碩士)
1987年 9月～現在：弘益大學校 大學院
電子工學科 博士課程
1989年 3月～現在：國立 서울産業大學
電子工學科 講師